



Software Engineering Conference Russia

14-15 ноября, 2019. Санкт-Петербург

Автоматизированная генерация
спецификаций квантовых цепей на
основе полиномов Ридда-Маллера

Калмычков В.А., Матвеева И.В.

СПбГЭТУ «ЛЭТИ»



Квантовые компьютеры и вычисления:

целевое назначение

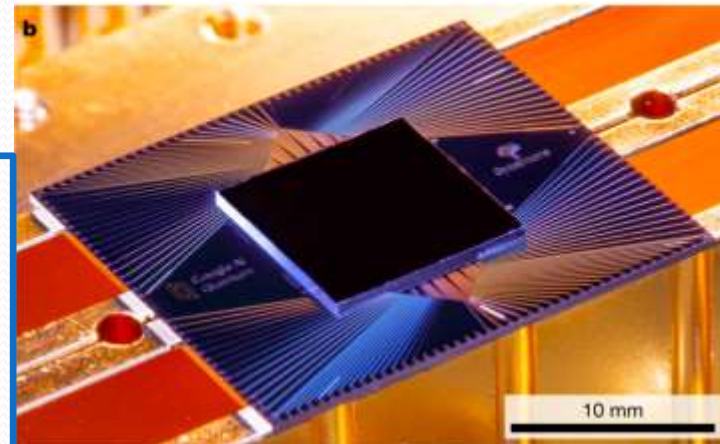
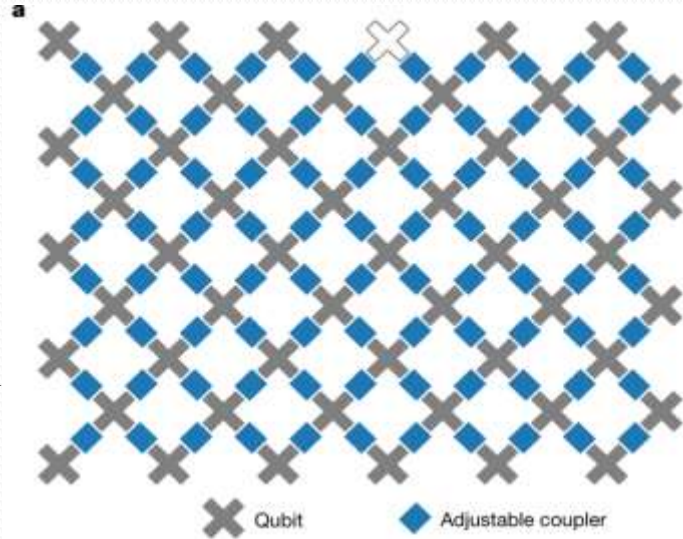
Цели применения квантового компьютера:

- решение вычислительных задач значительно быстрее компьютеров классической архитектуры (перебор/поиск, NP-задачи, многокритериальный выбор, оптимизация) – квантовое превосходство (quantum supremacy)¹
- «одновременная» обработка набора данных на основе классических алгоритмов
- высокоскоростные эмуляторы физических и химических систем

КВАНТОВАЯ ТЕХНОЛОГИЯ (пока дорогая и не всегда доступная) – **В НАЛИЧИИ !!**

Учимся программировать ? Физически ?

Можно какие-то этапы автоматизировать ?



a: Компоновка процессора: прямоугольный массив из 54 кубитов (серый), каждый соединен с 4-мя ближайшими соседями (nearest neighbours) регулируемыи соединителями (синий). Выделено неработоспособное состояние кубита. **b:** Sycamore chip (Google AI Quantum)²

¹ 23 октября 2019, : Arute, F., Arya, K., Babbush, R. et al. Quantum supremacy using a programmable superconducting processor. *Nature* 574, pages 505–510. <https://www.nature.com/articles/s41586-019-1666-5>

Квантовые вычисления: математики, физики или специалисты ВТ?

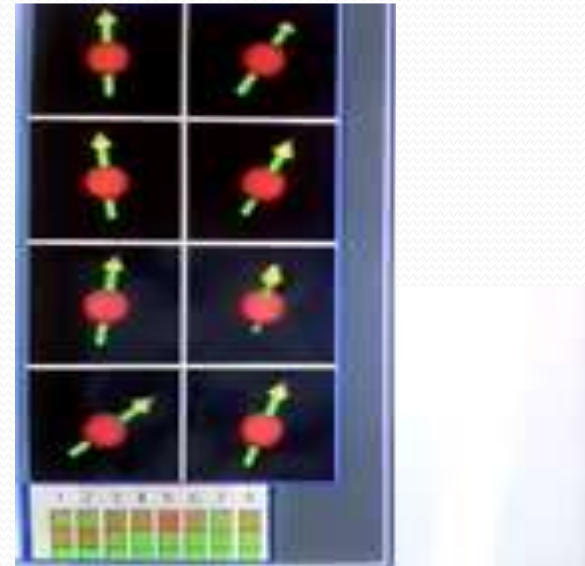
- 1980: математик Юрий Манин – идея квантовых вычислений
- 1981: физик Ричард Фейнман – базовая модель квантового компьютера (моделирование эволюции квантовой системы)
- 1981: физик(специалист ВТ) Томмазо Тоффоли – преобразователь
- 1985: физик Дэвид Дойч – квантовая машина Тьюринга
- 1994: математик Питер Шор – квантовый алгоритм факторизации
- 1995: физик Д.П. Дивинченцо (исследователь, IBM) и др. – описание элементарных квантовых преобразователей (gates)
- 1996: математик Лов Гровер – квантовый алгоритм поиска в БД
- 1997: физик Алексей Китаев – принципы топологических квантовых вычислений
- 1997: Д.Кори, А.Фахми и Т.Хавел (Н.Гершенфельд и И.Чанг) – КК на эффекте объемного спинового резонанса или тепловых ансамблей (ЯМР)
- 1997: Д.П. Дивинченцо – КК с кубитами на собственном моменте импульса отдельных электронов, находящихся в квантовых точках
- 1998: демонстрация 2-х, 3-х кубитных КК на ЯМР (ЯМР-компьютер) ³

Квантовые компьютеры: препятствия при создании

- 2000: 5-ти кубитный ЯМР-компьютер (Мюнхен), 7-ми кубитный ЯМР-компьютер (Лос-Аламос)

Основные задачи (проблемы):

- обеспечение стабильного состояния на существенный временной промежуток (+ «температурное» влияние),
- физические носители и процессы,
- обнаружение и исправление квантовых ошибок при вычислениях,
- обработка результатов (измерение),
- воспроизводимость,
- обеспечение существенного числа кубитов (даже не сотни, а тысячи !).



Квантовые компьютеры: основные технологии

Технология	Логический кубит	Управление
Твердотельные квантовые точки на полупроводниках	Зарядовые состояния (электрон) или направление электронного и/или ядерного спина в квантовой точке	Внешние потенциалы или лазерный импульс
Сверхпроводящие элементы	Присутствие/отсутствие куперовской пары в определённой точке пространства	Внешний потенциал, магнитный поток
Атомы в оптических ловушках (ионы)	Состояния внешнего электрона в ионе	Лазерные импульсы вдоль оси ловушки или на ионы

Дополнительно: приготовление запутанных состояний фотонов для управления атомными ансамблями, генерация квантовых состояний света

Общая схема организации вычислений с использованием квантового компьютера



M.A. Nielsen, and I.L. Chuang. Quantum Computation and Quantum Information, 2000. Cambridge Univ. Press, Cambridge, UK. 704 стр.

Валиев К.А., Кокин А.А. Квантовые компьютеры. Надежды и реальность, 2001. Ижевск: НИЦ «Регулярная и хаотическая динамика». 352 стр.

Квантовая цепь – модель квантовых вычислений

- **Квантовые вычисления** (*quantum computing*) – одно из перспективных направлений исследований в области компьютерных технологий.
- В последней трети прошлого века работы Ландауэра и Беннетта стимулировали интерес мирового научного сообщества к обратимым вычислениям и, как следствие, проектированию квантовых цепей на основе реверсивных преобразователей.
- **Модель квантовой цепи** – это способ представления спецификации для реализации квантовых вычислений на основе изменения состояний кубитов. Квантовая цепь представляет способ преобразований, которые позволяют перейти от входных состояний кубитов к выходным.
- Проблема в том, что для каждой конкретной вычислительной задачи нужно использовать свой особенный **квантовый алгоритм (квантовую цепь)**, поэтому разработка новых алгоритмов – не менее важная задача, чем разработка квантовых процессоров.
- Проектирование и оптимизация квантовых цепей играет важную роль в разработке технологии квантовых вычислений.

Квантовая цепь: основные модельные представления

Квантовый бит (кубит) – единичный вектор в двумерном комплексном векторном пространстве, для которого собственный базис фиксирован как $\{|0\rangle, |1\rangle\}$. Кубиты могут находиться в суперпозиции базовых состояний $|0\rangle$ и $|1\rangle$: $a|0\rangle + b|1\rangle$, где амплитуды вероятности a и b комплексные числа, причем $|a|^2 + |b|^2 = 1$. $|a|^2$ и $|b|^2$ это оценка вероятности получить при измерении в качестве результата одно из состояний:

$$|0\rangle = \begin{pmatrix} 1 \\ 0 \end{pmatrix} \text{ или } |1\rangle = \begin{pmatrix} 0 \\ 1 \end{pmatrix}$$

Квантовый регистр – набор кубитов. В основе двухкубитовой системы находится четырехкомпонентный базис:

$$\begin{aligned} |00\rangle &= |0\rangle|0\rangle = |0\rangle \otimes |0\rangle = \begin{bmatrix} 1 \\ 0 \end{bmatrix} \otimes \begin{bmatrix} 1 \\ 0 \end{bmatrix} = \begin{bmatrix} 1 \cdot \begin{bmatrix} 1 \\ 0 \end{bmatrix} \\ 0 \cdot \begin{bmatrix} 1 \\ 0 \end{bmatrix} \end{bmatrix} = \begin{bmatrix} 1 \\ 0 \\ 0 \\ 0 \end{bmatrix} & \quad |01\rangle = |0\rangle|1\rangle = |0\rangle \otimes |1\rangle = \begin{bmatrix} 1 \\ 0 \end{bmatrix} \otimes \begin{bmatrix} 0 \\ 1 \end{bmatrix} = \begin{bmatrix} 1 \cdot \begin{bmatrix} 0 \\ 1 \end{bmatrix} \\ 0 \cdot \begin{bmatrix} 0 \\ 1 \end{bmatrix} \end{bmatrix} = \begin{bmatrix} 0 \\ 1 \\ 0 \\ 0 \end{bmatrix} & \quad |10\rangle = |1\rangle|0\rangle = |1\rangle \otimes |0\rangle = \begin{bmatrix} 0 \\ 1 \end{bmatrix} \otimes \begin{bmatrix} 1 \\ 0 \end{bmatrix} = \begin{bmatrix} 0 \cdot \begin{bmatrix} 1 \\ 0 \end{bmatrix} \\ 1 \cdot \begin{bmatrix} 1 \\ 0 \end{bmatrix} \end{bmatrix} = \begin{bmatrix} 0 \\ 0 \\ 1 \\ 0 \end{bmatrix} & \quad |11\rangle = |1\rangle|1\rangle = |1\rangle \otimes |1\rangle = \begin{bmatrix} 0 \\ 1 \end{bmatrix} \otimes \begin{bmatrix} 0 \\ 1 \end{bmatrix} = \begin{bmatrix} 0 \cdot \begin{bmatrix} 0 \\ 1 \end{bmatrix} \\ 1 \cdot \begin{bmatrix} 0 \\ 1 \end{bmatrix} \end{bmatrix} = \begin{bmatrix} 0 \\ 0 \\ 0 \\ 1 \end{bmatrix} \end{aligned}$$

Квантовая цепь: основные модельные представления

Квантовые преобразователи. При вычислениях квантовый регистр подвергается преобразованиям, переводящим регистр в новое состояние.

Квантовое преобразование (оператор) над кубитами может быть представлено матрицей U . Квантовая механика требует, чтобы преобразование было унитарным, т.е. $UU^T=I$.

Квантовое вычисление представляет из себя выполнение над входным значением регистра $|\varphi\rangle$ последовательности квантовых унитарных операторов $U_1U_2\dots U_m$ для получения конечного состояния $U_1U_2\dots U_m|\varphi\rangle$.

Квантовая операция над кубитом можно представлена как матрица 2×2 .

Пример унитарной матрицы преобразователей: $NOT = \begin{pmatrix} 0 & 1 \\ 1 & 0 \end{pmatrix}$

Графическая спецификация NOT : \oplus

Преобразователь NOT выполняет преобразование $|0\rangle$ в $|1\rangle$ и $|1\rangle$ в $|0\rangle$.

Квантовая цепь: преобразователи (gates), нотации

Преобразование	Состояния	Нотация	Амплитуда
$\begin{bmatrix} 1 \\ 0 \end{bmatrix} \otimes \begin{bmatrix} 1 \\ 0 \end{bmatrix}$ – два одинаковых скалярных значения в двух векторах	0 $1 + 0i$ $ 00\rangle$ 1 $0 + 0i$ $ 01\rangle$ 2 $0 + 0i$ $ 10\rangle$ 3 $0 + 0i$ $ 11\rangle$	Q1 $ 0\rangle$ Q2 $ 0\rangle$	
$\begin{bmatrix} 0 \\ 1 \end{bmatrix} \otimes \begin{bmatrix} 1 \\ 0 \end{bmatrix}$ – два разных скалярных значения в двух векторах	0 $0 + 0i$ $ 00\rangle$ 1 $0 + 0i$ $ 01\rangle$ 2 $1 + 0i$ $ 10\rangle$ 3 $0 + 0i$ $ 11\rangle$	Q1 $ 0\rangle$ Q2 $ 1\rangle$	
$\text{Not} \left(\begin{bmatrix} 1 \\ 0 \end{bmatrix} \right) \otimes \begin{bmatrix} 1 \\ 0 \end{bmatrix}$ – смена проекций на оси (обмен осей первого вектора)	0 $0 + 0i$ $ 00\rangle$ 1 $0 + 0i$ $ 01\rangle$ 2 $1 + 0i$ $ 10\rangle$ 3 $0 + 0i$ $ 11\rangle$	Q1 $ 0\rangle$ Q2 $ 0\rangle$	
$\begin{bmatrix} 0 \\ 1 \end{bmatrix} \otimes \text{Not} \left(\begin{bmatrix} 1 \\ 0 \end{bmatrix} \right) \xrightarrow{e^{j\pi/4} \begin{bmatrix} 0 \\ 1 \end{bmatrix}}$ $\begin{bmatrix} 0 \\ 1 \end{bmatrix} \otimes \begin{bmatrix} 0 \\ \frac{1+j}{\sqrt{2}} \end{bmatrix}$ – обмен осей и зависимый поворот по одной оси	0 $0 + 0i$ $ 00\rangle$ 1 $0 + 0i$ $ 01\rangle$ 2 $0 + 0i$ $ 10\rangle$ 3 $0.70711 + 0.70711i$ $ 11\rangle$	Q1 $ 0\rangle$ Q2 $ 1\rangle$	
$\begin{bmatrix} 0 \\ 1 \end{bmatrix} \otimes \begin{bmatrix} 1 \\ 0 \end{bmatrix} \xrightarrow{H} \begin{bmatrix} 0 \\ 1 \end{bmatrix} \otimes \frac{1}{\sqrt{2}} \begin{bmatrix} 1 \\ 1 \end{bmatrix}$ – преобразование Адамара	0 $0 + 0i$ $ 00\rangle$ 1 $0 + 0i$ $ 01\rangle$ 2 $0.70711 + 0i$ $ 10\rangle$ 3 $0.70711 + 0i$ $ 11\rangle$	Q1 $ 0\rangle$ Q2 $ 1\rangle$	

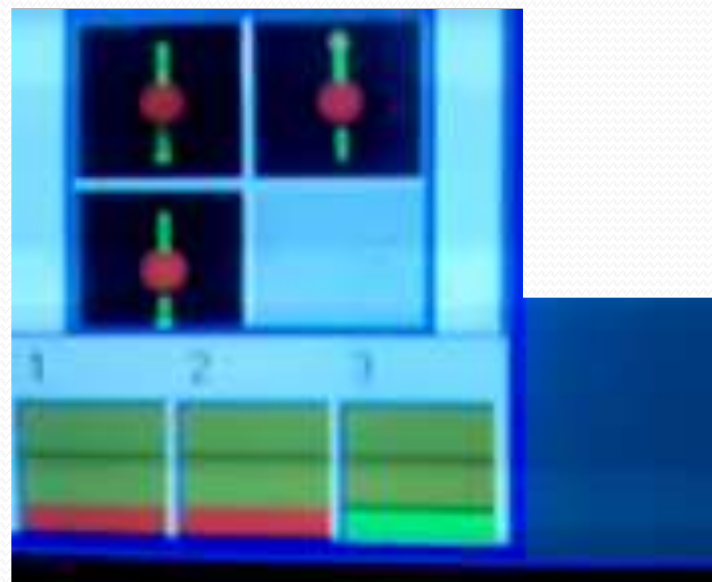
Преобразователи: инструкции физического уровня

The screenshot displays three windows from a quantum computing software interface:

- MI Set: xyz**: A list of instructions including `MI h_nmr2`, `QP -cv_23`, `MI -h_nmr4`, `MI -sqrt y3`, `MI -sqrt y3exact`, `MI -sqrt_x3`, `MI -sqrt_y1a`, `MI -sqrt_y2`, `MI -sqrt_y3`, `MI -u23`, `MI -x1`, `MI -x2`, `MI -x3`, `MI -y1`, `MI -y1exact`, `MI -y2`, `MI -y2exact`, `MI -y3`, `MI -y3exact`, `QP cnot_12`, `QP cnot_12xyz`, `QP cnot_13`, `QP cnot_23`, `QP cv_13`, `QP cv_23`, `MI h_exact`, `MI h_nmr`, and `MI h_nmr12`.
- QP tof_exact**: Shows a program halted with instructions like `MI Initialize`, `MI set2one`, `MI set1one`, `MI set3one`, `MI sqrt_y3`, `QP cnot_23`, `MI sqrt_y3`, `QP cnot_13`, `MI -sqrt_y3`, and `QP cnot_23`.
- cnot_13**: Shows a program reset with instructions like `MI y3`, `MI h_nmr2`, `MI x2`, `MI x2`, `MI h_nmr2`, `MI -x2`, `MI -x2`, `MI -y3`, `MI x3`, `MI x1`, `MI -x1`, `MI x2`, `MI y2`, and `MI -x2`.

A smaller window **QE tof_exact** is overlaid, showing a 2x2 grid of qubit states with red spheres and green arrows. Below it is a 3x3 grid of colored cells representing qubit states.

Преобразователь Тоффоли:
2 управляющих кубита –
слева
целевой кубит – справа



Квантовая цепь: графическая спецификация

Для графической спецификации цепи квантовых преобразователей используется нотация, предложенная Дойчем.

Кубиты представляются как нити, на которые нанизаны преобразователи, действующие на соответствующие кубиты. Преобразователи представляются как квадратики или кружочки с соответствующими обозначениями. Время в цепи изменяется слева направо.

Управляющие преобразователи представлены как кружок или квадратик на целевом кубите, вертикальная линия управления с символами «●» (управление 1-ей) и «○» (управление 0-м) на соответствующих управляющих кубитах.

Пример произвольной квантовой цепи:

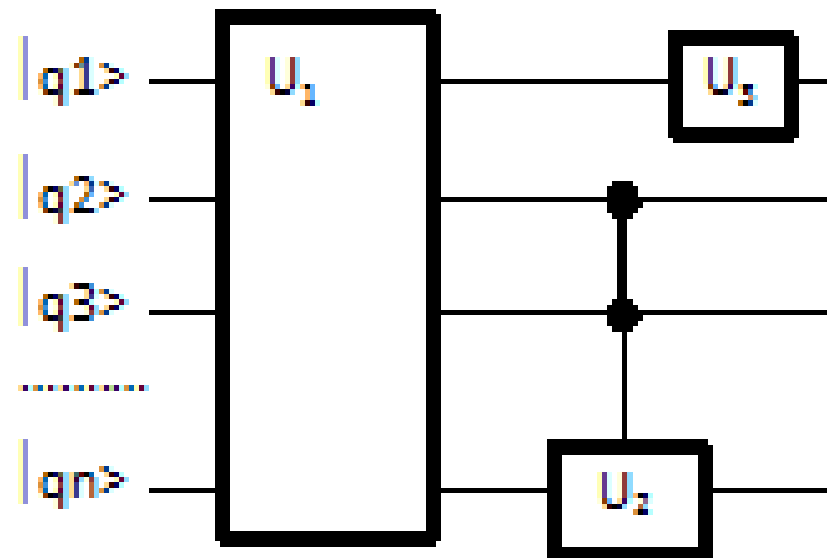
U_1 – произвольный n -кубитовый квантовый преобразователь

U_2 – управляющий трехкубитовый преобразователь

U_3 – однокубитовый преобразователь

Слева представлен

n -кубитовый квантовый регистр.



Квантовая цепь: основные модельные представления

Управляемые (условные) квантовые преобразователи CU введены как обобщенный тип преобразователей.

Состоят из *кубитов управления* и *целевого кубита*.

Матрица U воздействует на целевой кубит, если **все** кубиты управления принимают требуемое состояние ($|0\rangle$ или $|1\rangle$).

Действие универсального n -кубитового преобразователя $\Lambda_{n-1}(U)$ с $n-1$ управляющими кубитами j_1, \dots, j_{n-1} и одним целевым кубитом j_0 на векторах вычислительного базиса (квантового регистра):

$$|x_1, \dots, x_{j_0}, \dots, x_n\rangle \rightarrow |x_1, \dots\rangle \otimes U^{x_{j_1} \wedge \dots \wedge x_{j_m}} |x_{j_0}\rangle \otimes |\dots, x_n\rangle$$

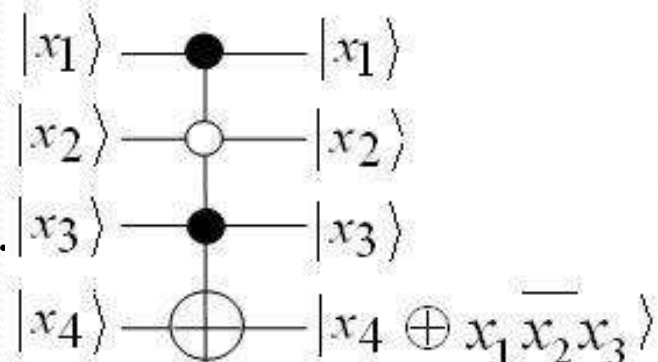
Самой известной разновидностью управляемого (контролируемого) преобразования является семейство преобразователей $C^k\text{NOT}$,

где k – целое число, определяющее количество управляющих узлов преобразователя.

$C^k\text{NOT}(Z; t)$ – преобразователь, в котором целевой кубит t управляется набором кубитов Z .

Пример справа представляет

графическую нотацию для $C^3\text{NOT}(x_1, \overline{x_2}, x_3; x_4)$.



Квантовые компьютеры: квантовое превосходство?

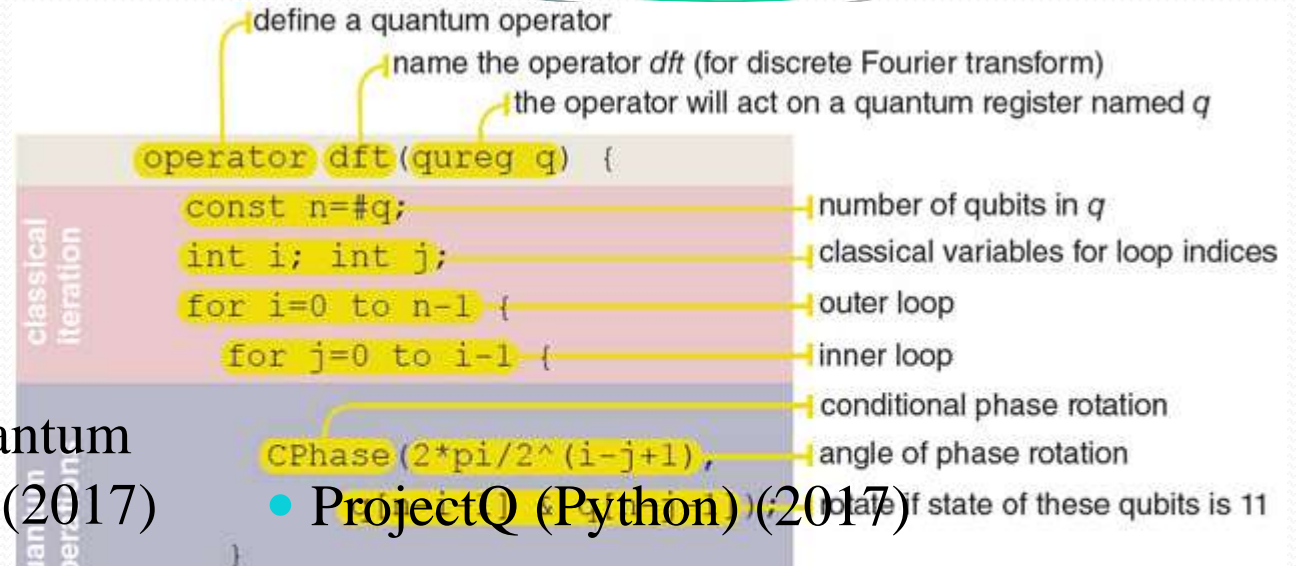
- D-Wave Systems: 2007: 16 и 28 кубит, 2011: 128 кубит (D-Wave One)
2012: 512 кубит (Vesuvius) 2015: более 1000 кубит
2017: 2000 кубит (D-Wave 2000Q) [кластеры по 8 кубит]
- 2017: Гарвардский университет и Массачусетский технологический институт – программируемый квантовый компьютер на базе 51 кубита
- 2017: Joint Quantum Institute and Joint Center for Quantum Information and Computer Science, University of Maryland – 53-кубитный квантовый симулятор
- 2018: МГУ, Внешэкономбанк, Фонд перспективных исследований, "ВЭБ-инновации" и АНО "Цифровая экономика" подписали соглашение о создании в России 50-кубитного квантового компьютера
- 2019: Alibaba Quantum Laboratory – Alibaba Cloud Quantum Development Kit
- сентябрь 2019: Google-Sycamore chip (NASA), 14-й от IBM на 53 кубита
- октябрь 2019: система из 2-х кубитов, собранная учеными МИСиС, успешно решила алгоритм Гровера (53% вероятность верного ответа)

Квантовые языки программирования

- QCL, 1998

(Quantum Computation Language)

- QDK (Microsoft Quantum Development Kit) Q# (2017)



- ProjectQ (Python) (2017)

```

1 open Microsoft.Quantum.Primitive;
2 ...
3 (qubits : Qubit[]) :
4 ...
5 body {
6     CNOT(qubits[2], qubits[1]);
7     H(qubits[0]);
8     CNOT(qubits[1], qubits[2]);
9     CNOT(qubits[0], qubits[1]);
10    CNOT(qubits[2], qubits[0]);
11    CNOT(qubits[2], qubits[1]);
12    CNOT(qubits[0], qubits[1]);
13    CNOT(qubits[2], qubits[0]);
14    CNOT(qubits[1], qubits[2]);
15    H(qubits[0]);
16    CNOT(qubits[0], qubits[1]);
17    CNOT(qubits[1], qubits[2]);
18 }

```

```

1 from projectq.engines import MainEngine
2 from projectq.ops import All, H, X, Measure
3 from projectq.meta import Compute, Uncompute,
4 import revkit
5 eng = MainEngine()
6 qubits = eng.allocate_quireg(6)
7 x = qubits[::2]
8 y = qubits[1::2]
9 with Compute(eng):
10     All(H) | qubits
11     All(X) | [x[0], x[1]]
12 Uncompute(eng)
13 All(H) | qubits
14 Measure | qubits
15 eng.flush()

```

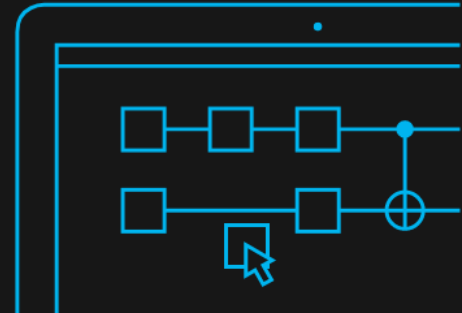
Квантовые языки программирования

- IBM (2019): <https://www.ibm.com/quantum-computing/>

2016

Quantum Computing on IBM Quantum Cloud Services

IBM scientists build the IBM Q Experience, a first-of-a-kind quantum computing platform delivered via the IBM Cloud and accessible by desktop or mobile devices. It enables users to run experiments on IBM's quantum processor, work with individual qubits, and explore tutorials and simulations of the wondrous possibilities of quantum computing.



Gates



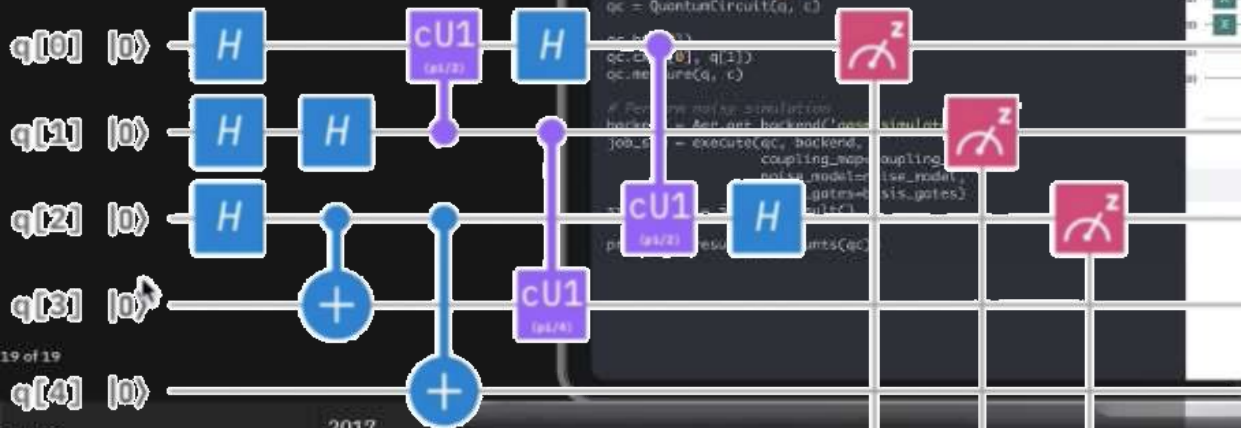
Operations

14 of 19



Subroutines

Launch of IBM Q System One



19 of 19

2016

2017
March

```
# Choose a real device to simulate
IBMQ.load_account()
provider = IBMQ.get_provider(hub='ibm-q')
device = provider.get_backend('ibmq_16_melbourne')
properties = device.properties()
coupling_map = device.configuration().coupling_map

# Generate an Aer noise model for noise
noise_model = noise.device_basic_device_noise_model(properties)
basis_gates = noise_model.basis_gates

# Generate a quantum circuit
q = QuantumRegister(2)
c = ClassicalRegister(2)
qc = QuantumCircuit(q, c)

# Post-simulation
backend = Aer.get_backend('aer_simulator')
job = execute(qc, backend,
              coupling_map=coupling_map,
              noise_model=noise_model,
              basis_gates=basis_gates)
result = job.result()
print(result.get_counts(qc))
```



Квантовые языки программирования

- Open Quantum Assembly Language (OpenQASM), IBM (2017)
Пример (A.W. Cross, L.S. Bishop, J.A. Smolin, J.M. Gambetta):

```
// controlled-NOT
gate cx c,t { CX c,t; }
// Pauli gate: bit-flip
gate x a { u3(pi,0,pi) a; }
// Pauli gate: bit and phase flip
gate y a { u3(pi,pi/2,pi/2) a; }
// Pauli gate: phase flip
gate z a { u1(pi) a; }
// C3 gate: sqrt(S) phase gate
gate t a { u1(pi/4) a; }
// C3 gate: conjugate of sqrt(S)
gate tdg a { u1(-pi/4) a; }
```

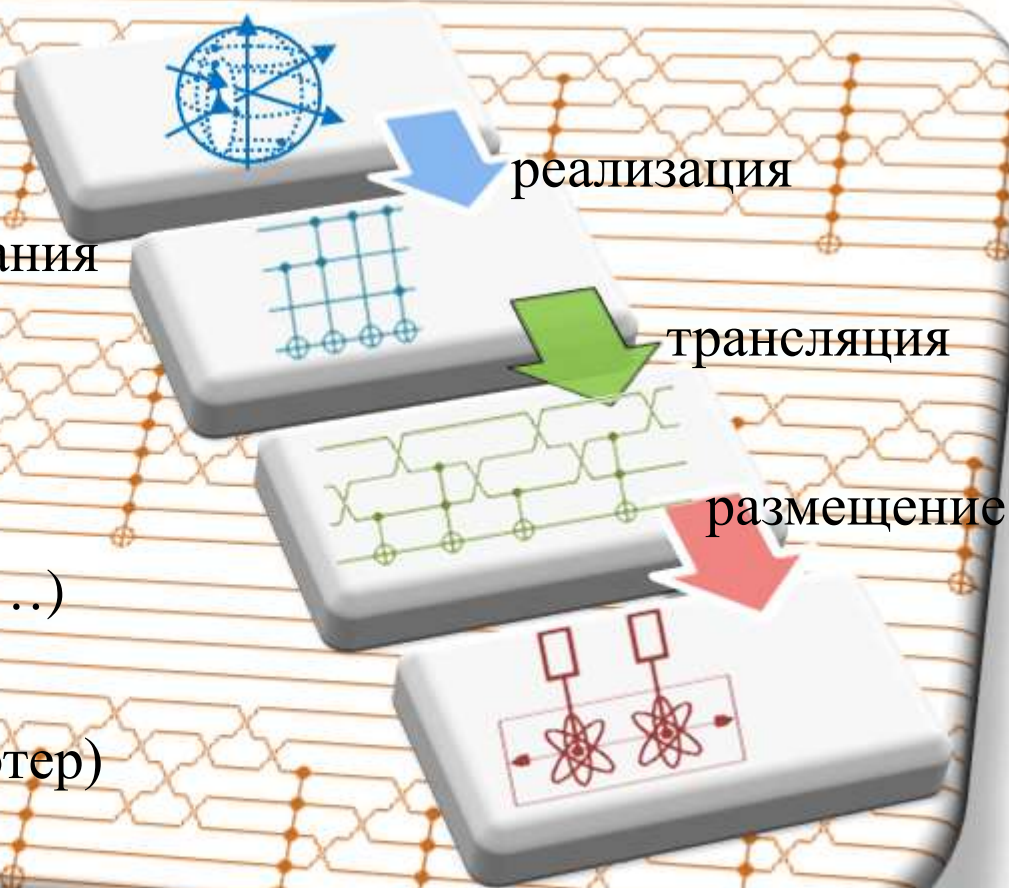
```
// C3 gate: Toffoli
gate ccx a,b,c
{
  h c;
  cx b,c; tdg c;
  cx a,c; t c;
  cx b,c; tdg c;
  cx a,c; t b; t c; h c;
  cx a,b; t a; tdg b;
  cx a,b;
}
```

```
// controlled-H
gate ch a,b {
  h b; sdg b;
  cx a,b;
  h b; t b;
  cx a,b;
  t b; h b; s b; x b; s a;
}
```

Квантовые алгоритмы → квантовые компьютеры

Высокоуровневый поток проектирования для отображения квантового алгоритма в среду квантового компьютера:

- квантовый алгоритм
- квантовый язык программирования (Q#, QCL, ...)
- квантовая компиляция (библиотеки, оптимизация, набор инструментов, QASM, ...)
- целевая платформа (симулятор, квантовый компьютер)



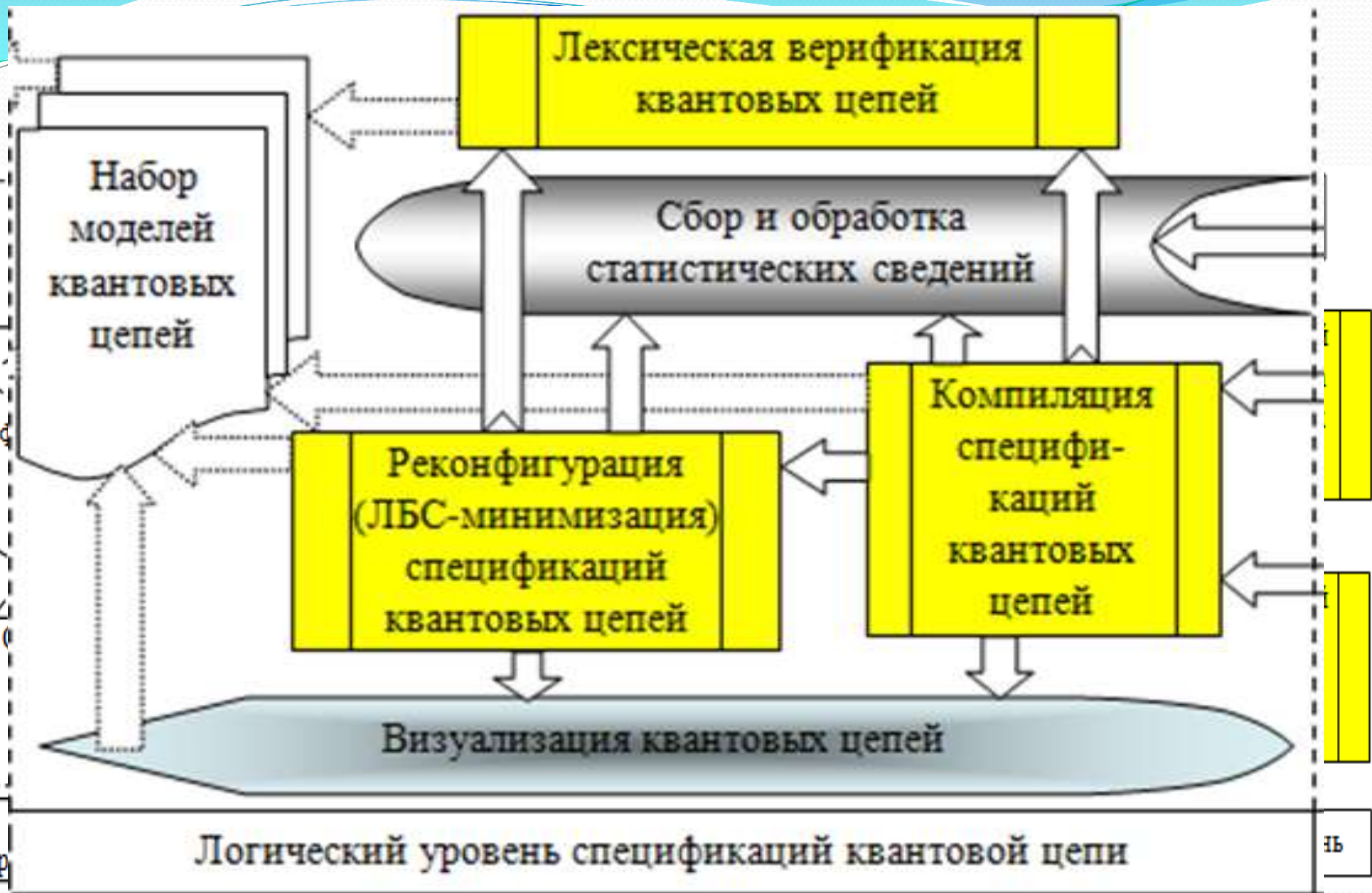
Основные особенности системы квантовой компиляции

Наш набор приложений для логического уровня: осуществляется переход (компиляция) от математического описания к логическому уровню спецификаций квантовых цепей, после чего становится возможным адаптация к условиям физической реализации на основе реализации квантовых цепей в ЛБС-нотации¹.

- Автоматическая компиляция всех возможных вариантов квантовых цепей по полиномам Риды-Мюллера.
- Автоматические режимы:
 - перехода к линейно ближайшему соседу при минимизации числа преобразователей SWAP на основе масштабируемых шаблонов,
 - сбора статистики (с расчетом оценочных характеристик),
 - визуализации,
 - лексической проверки эквивалентности результатов компиляции квантовых цепей.

¹ЛБС – линейно ближайшее соседство (LNN – Linear Nearest Neighbor) кубитов преобразователя – учет обеспечения ограничений на взаимодействие кубитов при физической реализации.

Общая архитектура системы квантовой компиляции



Математический аппарат полиномов Риды-Маллера

FPRM-представление (*поляризованные полиномы Риды-Маллера с фиксированной полярностью: fixed-polarity Reed-Muller expressions*) булевых функций (n входов и 1 выход) – это «сложение по модулю 2» EXOR от AND минитермов, в которых каждая булева переменная представлена либо в прямой, либо в инверсной форме, но не в обеих. Набор всех булевых функций 3-х переменных (x_k и $b_i \in \{0, 1\}$, $0 \leq k < n$, $0 \leq i \leq 2^n - 1$, $n = 3$ и коэффициенты b_i определяют представлен ли минитерм в выражении или нет) может быть представлен как:

$$f(x_0, x_1, x_2) = b_0 \oplus b_1 x_0 \oplus b_2 x_1 \oplus b_3 x_1 x_0 \oplus b_4 x_2 \oplus \\ \oplus b_5 x_2 x_0 \oplus b_6 x_2 x_1 \oplus b_7 x_2 x_1 x_0$$

- На этапе синтеза строится поляризованный полином Риды-Маллера (нулевой полярности) и формируется набор поляризованных полиномов FPRM фиксированной полярности (от 1 до $2^n - 1$).
- На основе полученных полиномов генерируются наборы квантовых цепей в нотации квантовых преобразователей.

Многоуровневая спецификация квантовой цепи

Генерация квантовой цепи

Таблица истинности	Компилятор	Библиотека C^k NOT	Набор FPRM-спецификаций, статистика
--------------------	------------	----------------------	-------------------------------------

анализ

Минимизация (не зависимо от технологии)

Спецификации в ЛБС-нотации	Минимизатор ЛБС-цепи	Набор минимизированных цепей, статистика
----------------------------	----------------------	--

анализ

Имитационное моделирование/симуляция

Графическая спецификация квантовой цепи	Симулятор	Симуляция, отчет
---	-----------	------------------

Результат генерации полиномов Риды-Маллера

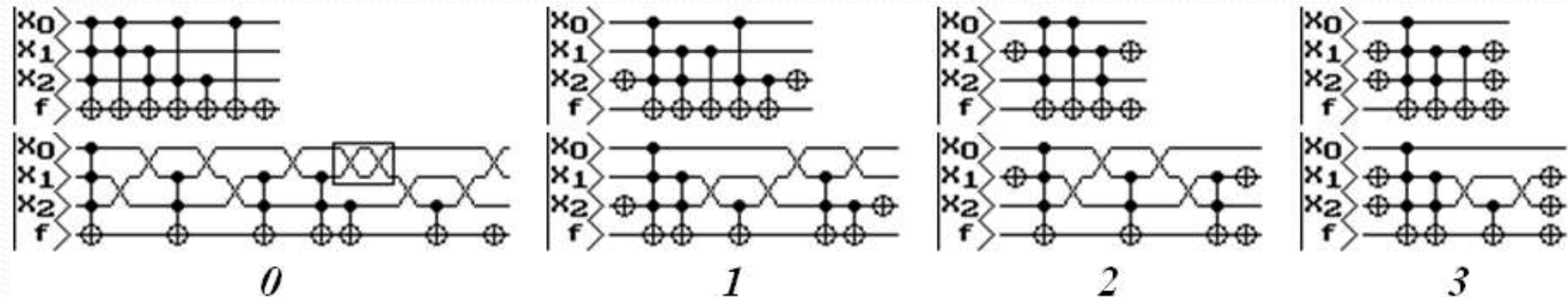
Формирование по заданной таблице истинности для 3 переменных поляризованного полинома Риды–Маллера нулевой полярности и набора поляризованных полиномов FPRM (от 1 до $2^n - 1$).

№	x_0	x_1	x_2	$f(x_0, x_1, x_2)$	Полиномы FPRM всех полярностей
0	0	0	0	1	$f(x_0, x_1, x_2) = x_0 x_1 x_2 \oplus x_0 x_1 \oplus x_1 x_2 \oplus x_0 x_2 \oplus x_2 \oplus x_0 \oplus 1$
1	0	0	1	0	$f(x_0, x_1, x_2) = x_0 x_1 \bar{x}_2 \oplus x_1 \bar{x}_2 \oplus x_1 \oplus x_0 \bar{x}_2 \oplus \bar{x}_2$
2	0	1	0	1	$f(x_0, x_1, x_2) = x_0 \bar{x}_1 x_2 \oplus x_0 \bar{x}_1 \oplus \bar{x}_1 x_2 \oplus 1$
3	0	1	1	1	$f(x_0, x_1, x_2) = x_0 \bar{x}_1 \bar{x}_2 \oplus \bar{x}_1 \bar{x}_2 \oplus \bar{x}_1 \oplus 1$
4	1	0	0	0	$f(x_0, x_1, x_2) = \bar{x}_0 x_1 x_2 \oplus \bar{x}_0 x_1 \oplus x_1 \oplus \bar{x}_0 x_2 \oplus \bar{x}_0$
5	1	0	1	0	$f(x_0, x_1, x_2) = \bar{x}_0 x_1 \bar{x}_2 \oplus x_1 \oplus \bar{x}_0 \bar{x}_2$
6	1	1	0	1	$f(x_0, x_1, x_2) = \bar{x}_0 \bar{x}_1 x_2 \oplus \bar{x}_0 \bar{x}_1 \oplus \bar{x}_1 \oplus 1$
7	1	1	1	1	$f(x_0, x_1, x_2) = \bar{x}_0 \bar{x}_1 \bar{x}_2 \oplus \bar{x}_1 \oplus 1$

Результат генерации спецификаций квантовых цепей

Квантовые цепи согласно 8 полярностям FPRM представлены вместе с соответствующими им ЛБС-нотациями.

№	Полиномы FPRM всех полярностей
0	$f(x_0, x_1, x_2) = x_0x_1x_2 \oplus x_0x_1 \oplus x_1x_2 \oplus x_0x_2 \oplus x_2 \oplus x_0 \oplus 1$
1	$f(x_0, x_1, x_2) = x_0x_1\bar{x}_2 \oplus x_1\bar{x}_2 \oplus x_1 \oplus x_0\bar{x}_2 \oplus \bar{x}_2$
2	$f(x_0, x_1, x_2) = x_0\bar{x}_1x_2 \oplus x_0\bar{x}_1 \oplus \bar{x}_1x_2 \oplus 1$
3	$f(x_0, x_1, x_2) = x_0\bar{x}_1\bar{x}_2 \oplus \bar{x}_1\bar{x}_2 \oplus \bar{x}_1 \oplus 1$



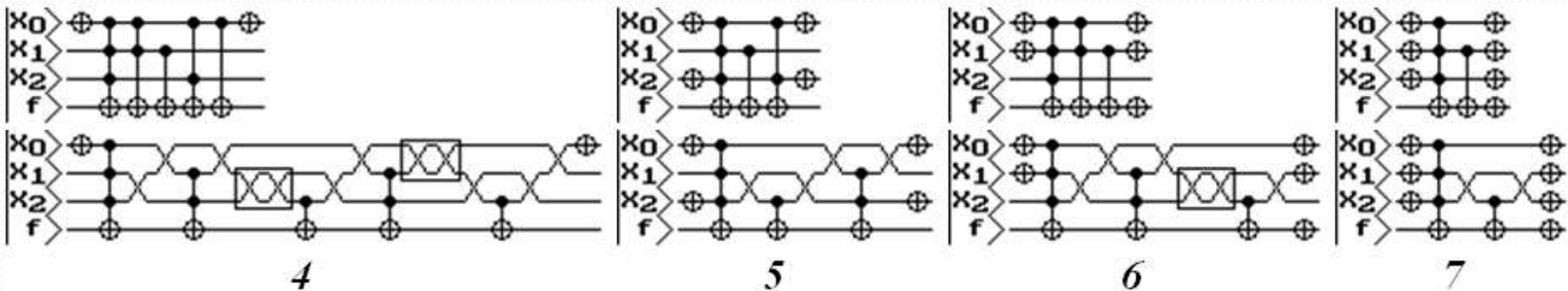
Преобразователь SWAP выполняет обмен состояний кубитов:



Результат генерации спецификаций квантовых цепей

Квантовые цепи согласно 8 полярностям FPRM представлены вместе с соответствующими им ЛБС-нотациями.

№	Полиномы FPRM всех полярностей
4	$f(x_0, x_1, x_2) = \bar{x}_0 x_1 x_2 \oplus \bar{x}_0 x_1 \oplus x_1 \oplus \bar{x}_0 x_2 \oplus \bar{x}_0$
5	$f(x_0, x_1, x_2) = \bar{x}_0 x_1 \bar{x}_2 \oplus x_1 \oplus \bar{x}_0 \bar{x}_2$
6	$f(x_0, x_1, x_2) = \bar{x}_0 \bar{x}_1 x_2 \oplus \bar{x}_0 \bar{x}_1 \oplus \bar{x}_1 \oplus 1$
7	$f(x_0, x_1, x_2) = \bar{x}_0 \bar{x}_1 \bar{x}_2 \oplus \bar{x}_1 \oplus 1$



Статистика для эквивалентных квантовых цепей

Критерии: количество квантовых преобразователей, глубина квантовой цепи при параллельной расстановке одновременно выполняющихся преобразователей (снижение временных затрат), квантовая стоимость для оценки предполагаемой сложности физической реализации преобразователя (принимаем $KC_{NOT} = KC_{CNOT} = 1$, $KC_{C^k NOT} = 5^{k-1}$, $KC_{SWAP} = 3$)

M10																					
fx =F10*\$F\$12^2+G10*\$F\$12^1+H10*\$F\$12^0+(E10+H10)*\$G\$12+K10*\$H\$12																					
	A	B	C	D	E	F	G	H	I	J	K	L	M	N	O	P	Q	R	S	T	U
1	Control qubits number												Minimization result				Reduction result				
2	x	f	Polarity	NOT-x	3	2	1	NOT-f	C^gates	SWAPs	C^gates+SWAPs	Qcost	Depth	SWAPs	C^gates+SWAPs	Qcost	SWAPs	C^gates+SWAPs	Qcost		
3	000	1	0	0	1	3	2	1	7	10	17	73	14	8	15	67	20,00%	11,76%	8,22%		
4	001	0	1	2	1	2	2	0	7	4	11	51	10	4	11	51	0,00%	0,00%	0,00%		
5	010	1	2	2	1	2	0	1	6	4	10	50	9	4	10	50	0,00%	0,00%	0,00%		
6	011	1	3	4	1	1	1	1	8	2	10	42	7	2	10	42	0,00%	0,00%	0,00%		
7	100	0	4	2	1	2	2	0	7	12	19	75	15	8	15	63	33,33%	21,05%	16,00%		
8	101	0	5	4	1	1	1	0	7	4	11	47	9	4	11	47	0,00%	0,00%	0,00%		
9	110	1	6	4	1	1	1	1	8	6	14	54	9	4	12	48	33,33%	14,29%	11,11%		
10	111	1	7	6	1	0	1	1	9	2	11	39	6	2	11	39	0,00%	0,00%	0,00%		
11	Gate:	C ^k NOT		NOT	SWAP	Minimum:											Maximum:				
12	Qcost:	5		1	3	6	2	10	39	6	2	10	39	33,33%	21,05%	16,00%					

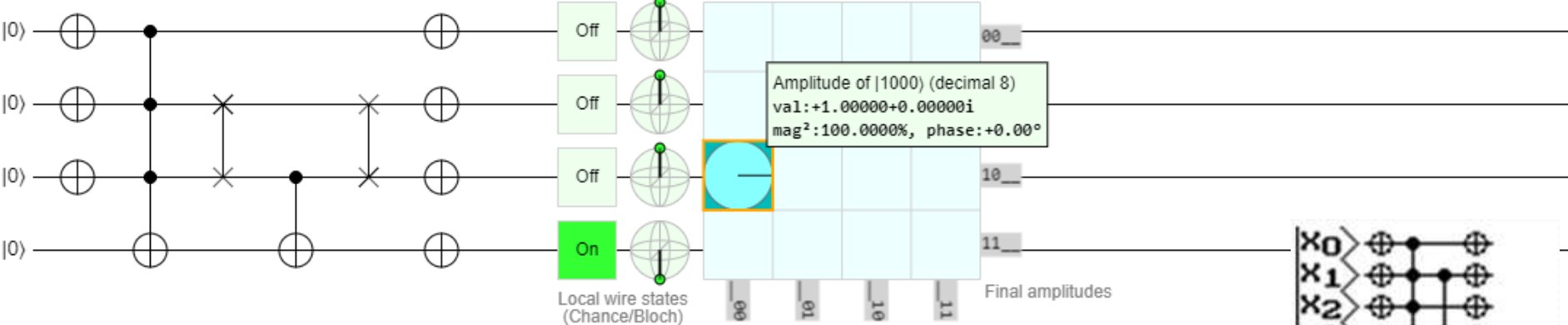
Симулятор квантовых цепей QUIRK (для 7 полярности)

симулятор quirk — Яндекс: наш × Quirk: 4 wires, 17 ops, XXX...XSv × +

algassert.com/quirk#circuit=[{"cols":["X","X","X"],["*","*","*","X"],[1,"Swap","Swap"],[1,1,"*","X"],[1,"Swap","Swap"],["X","X","X","X"]}]

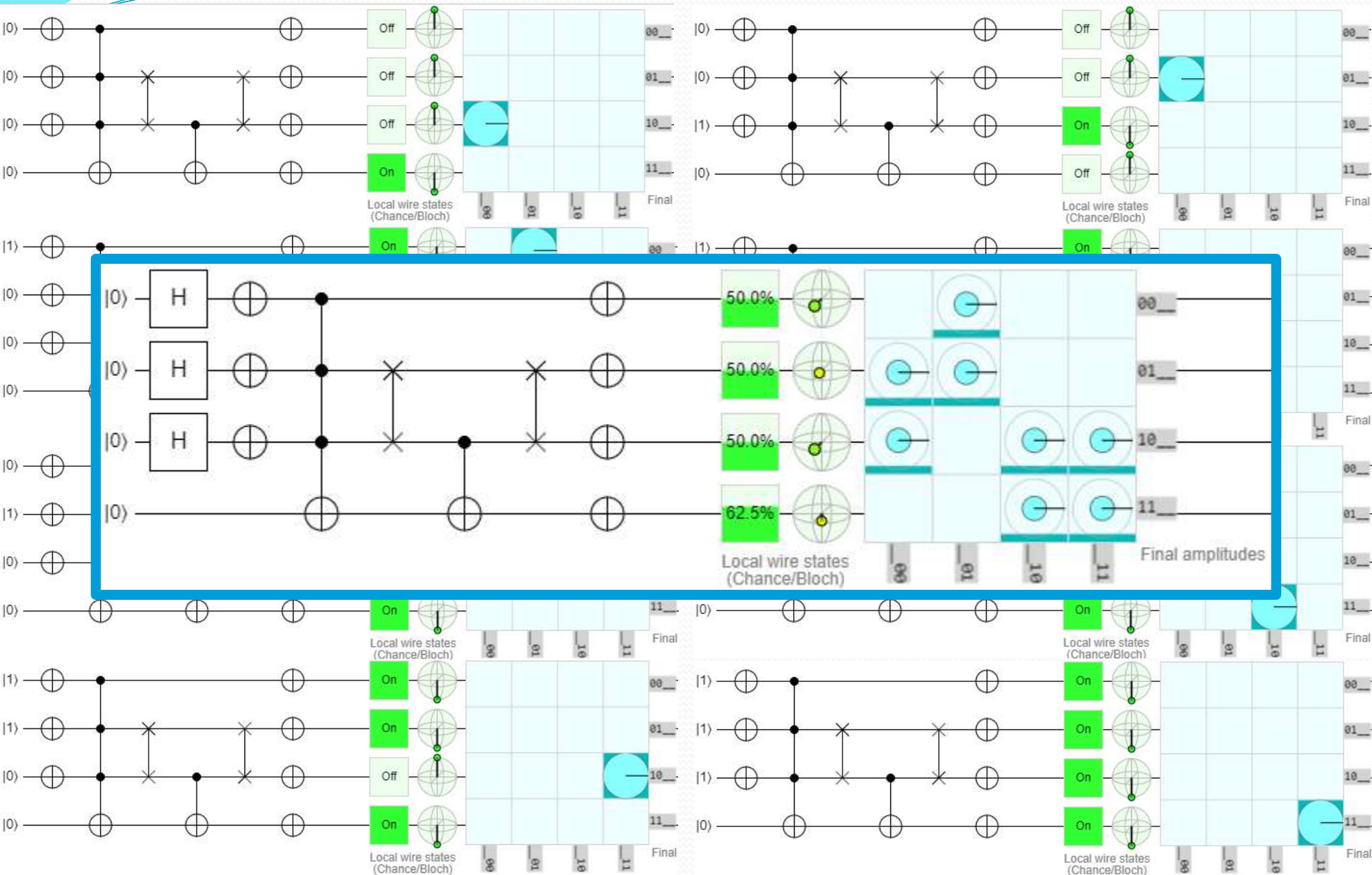
Menu Export Clear Circuit Clear ALL Undo Redo Make Gate Version 2.3

Probes	Displays	Half Turns	Quarter Turns	Eighth Turns	Spinning	Formulaic	Parametrized	Sampling	Parity
	Density Bloch	Z Swap	S S ⁻¹	T T ⁻¹	Z ^t Z ^{-t}	Z ^{f(t)} Rz(f(t))	Z ^{A/2ⁿ} Z ^{-A/2ⁿ}	Z ⊙ 0⟩	[Z _{par}]
0⟩⟨0 1⟩⟨1	Chance Amps	Y	Y ^{1/2} Y ^{-1/2}	Y ^{1/4} Y ^{-1/4}	Y ^t Y ^{-t}	Y ^{f(t)} Ry(f(t))	Y ^{A/2ⁿ} Y ^{-A/2ⁿ}	Y ⊗ 0⟩	[Y _{par}]
○ ●		⊕ H	X ^{1/2} X ^{-1/2}	X ^{1/4} X ^{-1/4}	X ^t X ^{-t}	X ^{f(t)} Rx(f(t))	X ^{A/2ⁿ} X ^{-A/2ⁿ}	X ⊕ 0⟩	[X _{par}]



X/Y Probes	Order	Frequency	Inputs	Arithmetic	Compare	Modular	Scalar	Custom Gates
⊖ ⊕	+ t - t	QFT QFT [†]	input A A=# default	+1 -1	⊕A<B ⊕A>B	+1 mod R -1 mod R	... 0	
⊙ ⊗	Reverse	Grad ^{1/2} Grad ^{-1/2}	input B B=# default	+A -A	⊕A≤B ⊕A≥B	+A mod R -A mod R	-	
+⟩⟨+ -⟩⟨-		Grad [†] Grad ^{-†}	input R R=# default	+AB -AB	⊕A=B ⊕A≠B	x ^A mod R x ^{A-1} mod R	i -i	
i⟩⟨i -i⟩⟨-i				x ^A x ^{A-1}		x ^B mod R x ^{B-A} mod R	√i √-i	

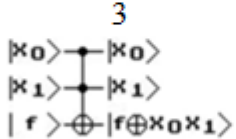
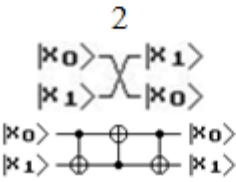
Симулятор квантовых цепей QUIRK (для 7 полярности)



Лексическая верификация квантовых цепей

Анализ преобразований над кубитами в скомпилированных квантовых цепях проводится нами на основе пространства лексем для символического вида коэффициентов кубитов в вычислительном базисе.

Примеры применения верификации базовых преобразователей для одного кубита и квантового регистра из двух и трех кубитов:

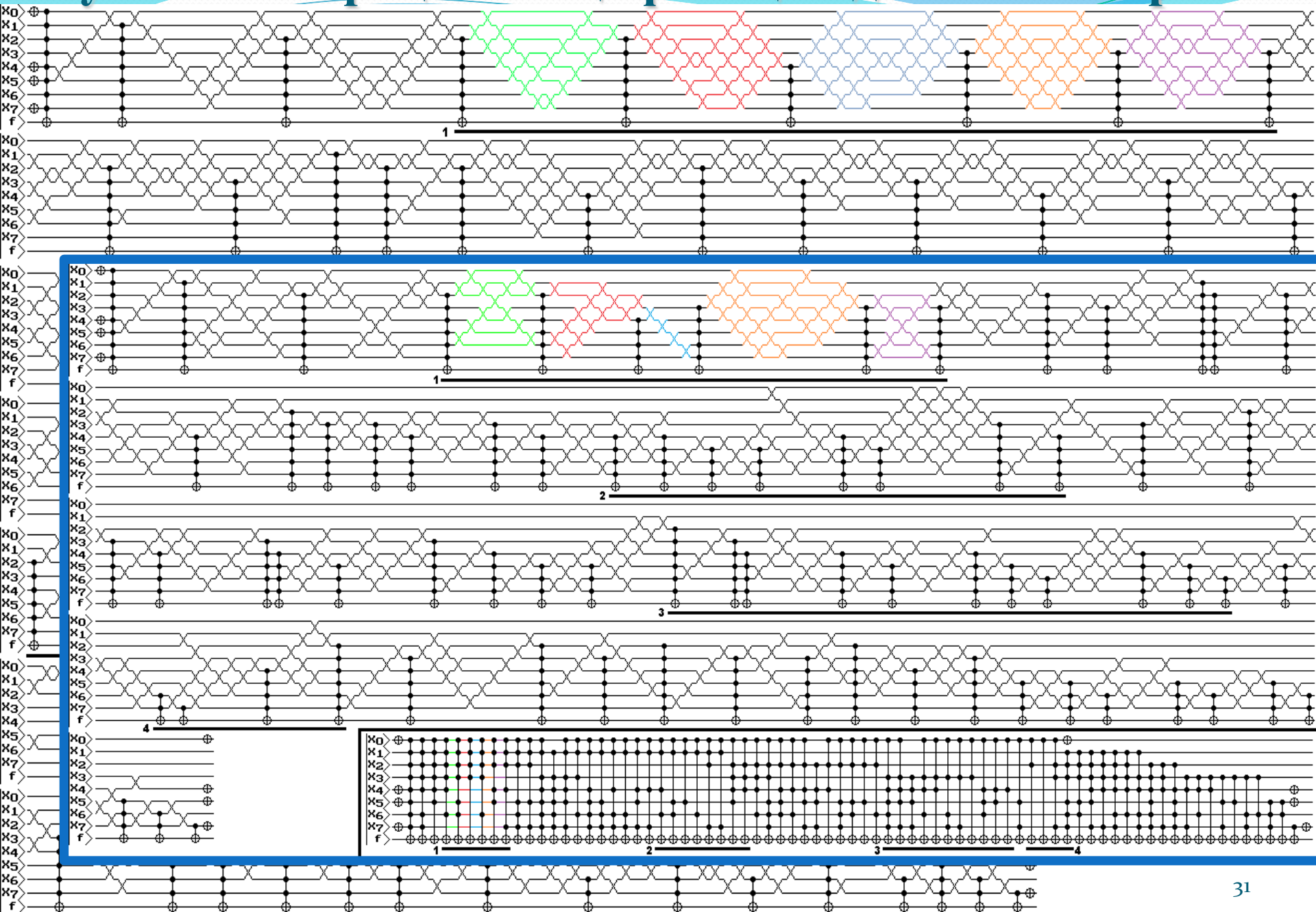
Преобразователь	Число кубитов и графическая нотация	Лексемы для коэффициентов кубита
C^2 NOT (Toffoli)		$\begin{bmatrix} a \\ c \end{bmatrix} \otimes \begin{bmatrix} b \\ d \end{bmatrix} \otimes \begin{bmatrix} e \\ f \end{bmatrix} = \begin{bmatrix} abe \\ abf \\ ade \\ adf \\ cbe \\ cbf \\ cde \\ cdf \end{bmatrix} \xrightarrow{\text{Tof}} \begin{bmatrix} abe \\ abf \\ ade \\ cdf \\ cbe \\ cbf \\ cde \\ adf \end{bmatrix} = \begin{bmatrix} c \\ a \end{bmatrix} \otimes \begin{bmatrix} 0 \\ d \end{bmatrix} \otimes \begin{bmatrix} 0 \\ f \end{bmatrix} + \begin{bmatrix} a \\ c \end{bmatrix} \otimes \begin{bmatrix} b \\ 0 \end{bmatrix} \otimes \begin{bmatrix} e \\ 0 \end{bmatrix} + \begin{bmatrix} a \\ c \end{bmatrix} \otimes \begin{bmatrix} 0 \\ d \end{bmatrix} \otimes \begin{bmatrix} e \\ 0 \end{bmatrix} + \begin{bmatrix} a \\ c \end{bmatrix} \otimes \begin{bmatrix} b \\ 0 \end{bmatrix} \otimes \begin{bmatrix} 0 \\ f \end{bmatrix}$
SWAP (через 3 C^1 NOT)		$\begin{bmatrix} a \\ c \end{bmatrix} \otimes \begin{bmatrix} b \\ d \end{bmatrix} = \begin{bmatrix} ab \\ ad \\ cb \\ cd \end{bmatrix} \xrightarrow{\text{SWAP}} \begin{bmatrix} ba \\ bc \\ da \\ dc \end{bmatrix} = \begin{bmatrix} b \\ d \end{bmatrix} \otimes \begin{bmatrix} a \\ c \end{bmatrix}$

Фрагмент статистики для FPRM 8 переменных

O15 $f_x = C15*SP\$1^7+D15*SP\$1^6+E15*SP\$1^5+F15*SP\$1^4+G15*SP\$1^3+H15*SP\$1^2+I15*SP\$1^1+J15*SP\$1^0+(B15+K15)*\$N\$1+M15*\$L\1

	A	B	C	D	E	F	G	H	I	J	K	L	M	N	O	P	Q	R	S	T	U	V
1	Control qubits number										SWAP: 3		NOT: 1		C ^k NOT: 5	Minimization result			Reduction result			
2	Polarity	NOT-x	8	7	6	5	4	3	2	1	NOT-f	C [^] gates	SWAPs	C [^] gates+SWAPs	Qcost	SWAPs	C [^] gates+SWAPs	Qcost	SWAPs	C [^] gates+SWAPs	Qcost	
3	0	0	1	4	14	37	41	32	14	3	1	147	2076	2223	219727	1026	1173	216577	50,58%	47,23%	1,43%	
4	1	2	1	3	13	29	36	28	18	4	1	135	1892	2027	194723	870	1005	191657	54,02%	50,42%	1,57%	
5	40	4	1	2	15	32	39	31	13	3	1	141	1860	2001	187553	892	1033	184649	52,04%	48,38%	1,55%	
6	41	6	1	1	14	27	37	30	17	5	1	139	1848	1987	165391	798	937	162241	56,82%	52,84%	1,90%	
7	42	6	1	3	13	34	42	38	16	6	0	159	2134	2293	199569	976	1135	196095	54,26%	50,50%	1,74%	
8	131	6	1	3	15	23	23	16	9	2	1	99	1322	1421	193545	632	731	191475	52,19%	48,56%	1,07%	
9	132	4	1	4	14	31	34	20	7	1	1	117	1656	1773	213509	646	763	210479	60,99%	56,97%	1,42%	
10	133	6	1	3	15	23	24	16	6	2	0	96	1268	1364	193492	574	670	191410	54,73%	50,88%	1,08%	
11	140	6	1	3	13	24	22	21	4	2	1	97	1424	1521	188201	574	671	185651	59,69%	55,88%	1,35%	
12	141	8	1	2	13	18	17	15	7	2	0	83	1090	1173	167065	520	603	165355	52,29%	48,59%	1,02%	
13	142	8	1	4	12	24	20	17	7	2	1	96	1284	1380	199948	640	736	198016	50,16%	46,67%	0,97%	
14	168	6	1	1	14	31	30	22	9	2	1	117	1464	1581	165621	678	795	163263	53,69%	49,72%	1,42%	
15	169	8	1	0	14	28	28	22	12	4	0	117	1496	1613	147985	650	767	145447	56,55%	52,45%	1,72%	
16	170	8	1	2	13	30	34	19	8	1	1	117	1562	1679	178211	702	819	175631	55,06%	51,22%	1,45%	
17	194	6	1	5	14	24	26	17	5	0	1	99	1296	1395	222595	580	679	220447	55,25%	51,33%	0,96%	
18	195	8	1	4	14	17	23	12	4	2	1	86	1036	1122	201314	548	634	199850	47,10%	43,49%	0,73%	
19	196	6	1	5	14	30	33	16	4	1	1	111	1452	1563	227659	598	709	225097	58,82%	54,64%	1,13%	
20	254	14	1	5	20	28	29	19	8	0	1	125	1524	1649	244977	764	889	242697	49,87%	46,09%	0,93%	
21	255	16	1	4	20	29	36	28	12	4	1	151	1900	2051	232231	922	1073	229297	51,47%	47,68%	1,26%	
23	Minimum:		1	0	10	17	17	10	2	0	0	83	1036	1122	147985	520	603	145447	42,40%	45,86%	0,73%	
24	Maximum:		1	8	20	39	42	38	23	8	1	171	2284	2455	274406	1034	1203	271598	60,99%	56,97%	1,90%	

Результат генерации спецификаций для 141 полярности



Полезные сведения

Обзор квантовых алгоритмов:

Душкин Р.В. Квантовые вычисления и функциональное программирование, 2015. Москва: ДМК Пресс. 232 стр.

Квантовые вычисления (Quantum computing) – видеокурс СПбГУ:

<https://www.coursera.org/learn/kvantovyye-vychisleniya>

Программа «Введение в квантовые вычисления», МГУ:

<https://openedu.ru/course/msu/QUANTUMCOMPUTING/>

The Joint Center for Quantum Information and Computer Science (QuICS) – a partnership between the University of Maryland (UMD) and the National Institute of Standards and Technology (NIST): <https://quics.umd.edu/>

Росатом запускает масштабный проект по созданию отечественного квантового компьютера (07 Ноября, 2019 / 10:42) – бюджет более 20 млрд. руб.:

- развитие различных платформ создания кубитов: сверхпроводников, холодных атомов и ионов, фотонов;

- к 2024 г. планируется создать квантовые компьютеры с 50-100 кубитами.

<https://www.rosatom.ru/journalist/news/rosatom-zapuskayet-masshtabnyy-proekt-po-sozdaniyu-otechestvennogo-kvantovogo-kompyutera/>

ВАК, защиты [2012-2019]:

01.04.03 – Радиоп физика: Моделирование работы квантового компьютера на квадрупольных ядрах (2013)

ВАК – защиты, 2017:

01.04.02 - Теоретическая физика: Классические и квантовые модели суперсимметричной механики и частиц высших спинов

01.04.05 – Оптика [Акбари Мохсен]: Трёхфотонное спонтанное параметрическое рассеяние света и квантовые логические операции в кольцевых микрорезонаторах

01.04.02 - Теоретическая физика: Роль энтропийной асимметрии в двусоставных квантовых состояниях

01.01.03 - Математическая физика: Экстремумы целевых функционалов в задачах управления двухуровневыми квантовыми системами

05.27.01 - Твердотельная электроника, радиоэлектронные компоненты, микро- и наноэлектроника, приборы на квантовых эффектах: Разработка методов и алгоритмов высокоточной томографии квантовых состояний

01.04.05 – Оптика: Квантовая коммуникация на боковых частотах лазерного фазомодулированного излучения по атмосферному каналу связи

К сведению

ВАК – защиты, 2018:

01.04.02 - Теоретическая физика: Вероятностные, информационные и корреляционные характеристики квантовых систем

01.04.02 - Теоретическая физика: Топологическая фаза Паули и полуцелый орбитальный момент в двумерных квантовомеханических системах: циркулярных квантовых точках и графене с закритической кулоновской примесью

05.13.18 - Математическое моделирование, численные методы и комплексы программ: Модель квантовых графов с рёбрами меняющейся длины

ВАК – защиты, 2019:

05.13.18 - Математическое моделирование, численные методы и комплексы программ: Метод конечных элементов для исследования квантовых систем нескольких частиц

СПАСИБО !!!

Контакты

Калмычков Виталий Анатольевич

СПбГЭТУ «ЛЭТИ», ФКТИ, каф. САПР

vakalmychkov@etu.ru

Матвеева Ирина Витальевна

СПбГЭТУ «ЛЭТИ», ФКТИ, каф. САПР

ir_mat@mail.ru

<https://etu.ru/ru/fakultety/fakultet-kompyuternyh-tehnologiy-i-informatiki/sostav-fakulteta/kafedra-sistem-avtomatizirovannogo-proektirovaniya/rukovodstvo-sostav-kafedry/professorsko-prepodavatelskiy-sostav1/matveeva-irina-vitalevna>

